—— ФОТОХИМИЯ ——

УДК 541.14+543.42

ОДНО- И ДВУХИМПУЛЬСНАЯ ЛАЗЕРНАЯ КИНЕТИЧЕСКАЯ СПЕКТРОСКОПИЯ СПИРОПИРАНА ИНДОЛИНОВОГО РЯДА

© 2023 г. Л. С. Атабекян^{а, *}, А. К. Чибисов^а, Т. А. Святославская^а, Н. Л. Святославский^а, В. П. Маркелов^а

^a Центр фотохимии РАН, ФНИЦ "Кристаллография и фотоника" РАН, ул. Новаторов 7a, кор. 1, Москва, 119421 Россия

*E-mail: levat51@mail.ru

Поступила в редакцию 24.04.2023 г.
После доработки 19.05.2023 г.
Принята к публикации 19.05.2023 г.

Методом лазерной кинетической спектроскопии (лазерного фотолиза) с одно- и двухимпульсным возбуждением исследованы фотопревращения 6-нитро-8-метокси-замещенного спиропирана индолинового ряда в ацетонитриле. Установлена роль триплетного состояния в кинетике фотоокрашивания спиропирана. Показано, что фотохромные превращения спиропирана происходят с участием нестабильных *транс*-изомеров (конформеров) открытой мероцианиновой формы спиропирана. Приводятся данные по кинетике превращения *транс*-изомеров.

Ключевые слова: спиропиран, лазерный фотолиз, триплетное состояние, *цис-транс* изомеризация, двухимпульсное фотовозбуждение

DOI: 10.31857/S0023119323050017, EDN: LXPOTJ

ВВЕДЕНИЕ

Известно, что спиропираны принадлежат к числу фотохромных соединений, обратимо изменяющих окраску при УФ-облучении [1-4]. Исследование фотопревращений спиропиранов представляет интерес в связи с перспективой их практического использования в качестве фотохромных материалов [5-9]. Ранее было показано, что под действием УФ-света происходит образование из исходной бесцветной (закрытой) формы (А) спиропирана окрашеной (открытой) мероцининовой формы (В), поглощающей в полосе с максимумом 550-620 нм в зависимости от природы растворителя [9-12]. По данным лазерной кинетической спектроскопии фотореакция нитро-замещенных спиропиранов протекает с участием триплетного состояния и за несколько микросекунд приводит к образованию мероцианиновой формы [10, 13, 14]. Мероцианиновая форма спиропирана является транс-изомером, и согласно расчетам максимально возможное число транс-изомеров спиропирана равно четырем [15-18]. Реакция фотоокрашивания может протекать через ряд взаимнопревращающихся транс-изомеров [19-25]. В связи с этим представляется важным исследование преращения *транс*-изомеров спиропирана при лазерном возбуждении. Для этой цели нами применен метод двухимпульсного лазерного возбуждения [26—28], при котором под действием первого УФ-импульса происходит образование открытой мероцианиновой формы спиропирана, тогда как второй лазерный импульс, задержанный относительно первого, возбуждает мероцианиновую форму в видимой области спектра.

ЭКСПЕРИМЕНТАЛЬНАЯ ЧАСТЬ

Измерения спектров поглощения и кинетики преращения промежуточных продуктов фотореакции проводили на установке импульсного лазерного фотолиза, в режимах одно- и двухимпульсного возбуждения. В качестве источников лазерного излучения применяли неодимовые лазеры на иттрий-алюминиевом гранате (Nd-YAG) марки Solar. В качестве первого источника фотовозбуждения использовали лазер Solar LQ529A ($\lambda = 355$ нм, энергия в импульсе 70 мДж), в качестве второго — лазер LQ129 ($\lambda = 532$ нм, энергия в импульсе 150 мДж). Длительность импульса составляла 10 нс. Система синхронизации позволяла осуществлять запуск двух импульсов с регули-

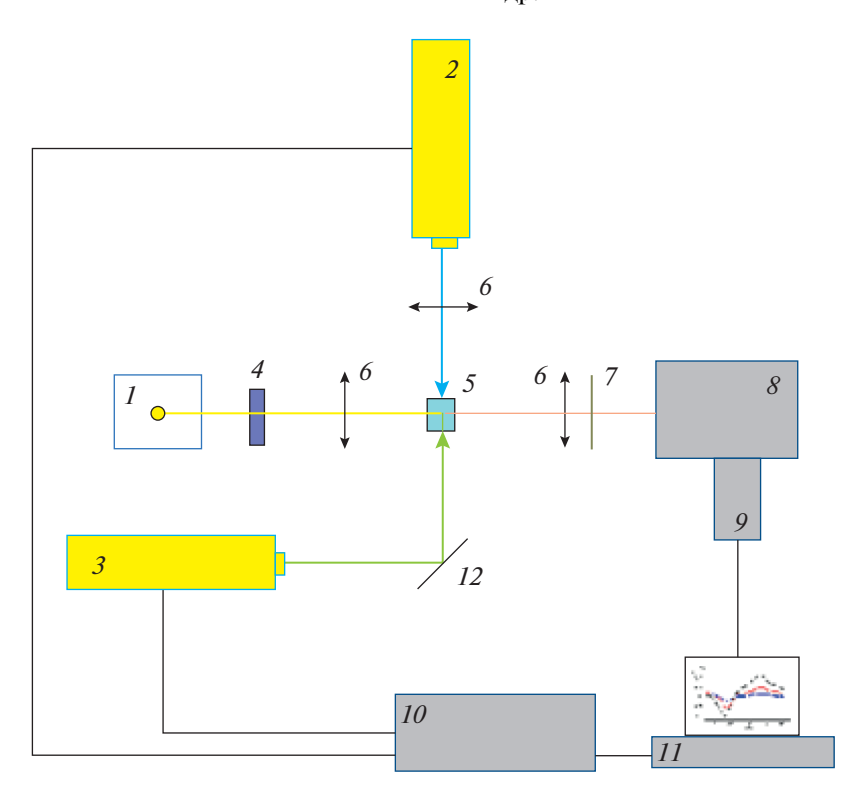


Рис. 1. Схема лазерной кинетической установки. I — источник зондирующего света (ксеноновая лампа — 150 Вт); 2 — лазерный излучатель LQ529В (355нм); 3 — лазерный излучатель LQ129 (532 нм); 4 — электрический затвор (шторка); 5 — кювета с исследуемым раствором; 6 — оптические линзы; 7 — светофильтр; 8 — монохроматор МДР6; 9 — фотоумножитель Φ ЭУ-84; 10 — блок автоматического управления; 11 — аппаратура регистрации сигнала (компьютер со встроенной платой-осциллографом Bordo-211); 12 — поворотное зеркало.

руемой задержкой в интервале 500 нс—500 мкс. Система спектральной регистрации промежуточных продуктов фотореакции включала зондирующий источник света — ксеноновая лампа Osram-150 с блоком питания (Applied Photophysics), двойной монохроматор МДР-6, приемник излучения ФЭУ-84, цифровой осциллограф (плата Bordo-211) и персональный компьютер (рис. 1).

Растворенный кислород удаляли путем барботирования раствора аргоном в течение 25 мин. Все измерения проводили при комнатной температуре. В качестве растворителя использовали ацетонитрил (MeCN, "ос.ч.", сорт 0, "Криохром"). Все измерения проводили при комнатной температуре в кварцевой кювете $1 \times 1 \times 4$ см. В работе использовали спиропиран индолинового ряда (1',3',3'-триметил-6-нитро-8-метоксиспиро [2H-1-бензопиран-2,2'-(2H) индол]) (СП). Концентрация СП в растворе составляла 1×10^{-4} моль/л.

РЕЗУЛЬТАТЫ И ОБСУЖДЕНИЕ

При лазерном (одноимпульсным) УФ-возбуждении СП наблюдали изменения в спектре поглощения, которые связаны с образованием открытой, мероцианиновой, формы СП. На рис. 2 приведены спектры, характеризующие изменения фотоиндуцированного поглощения обескислороженного раствора СП, измеренные через 20 и 260 мкс после окончания лазерного импульса.

На рис. 3 приведены кинетические кривые изменения фотоиндуцированного поглощения СП. Увеличение поглощения при $\lambda = 630$ нм (рис. 3а) симбатно уменьшению поглощения при $\lambda = 470$ нм, которое следует отнести к триплет-триплетному (Т-Т) поглощению промежуточного *цис*-цисоидного изомера СП (3 X*) [17]. В пользу этого свидетельствуют кинетические кривые изменения поглощения, измеренные при $\lambda = 470$ нм в отсутствие и в присутствии кислорода воздуха (вставка, рис. 3б). Таким образом, кинетическая кривая I, приведенная на рис. 3а, характеризует образование

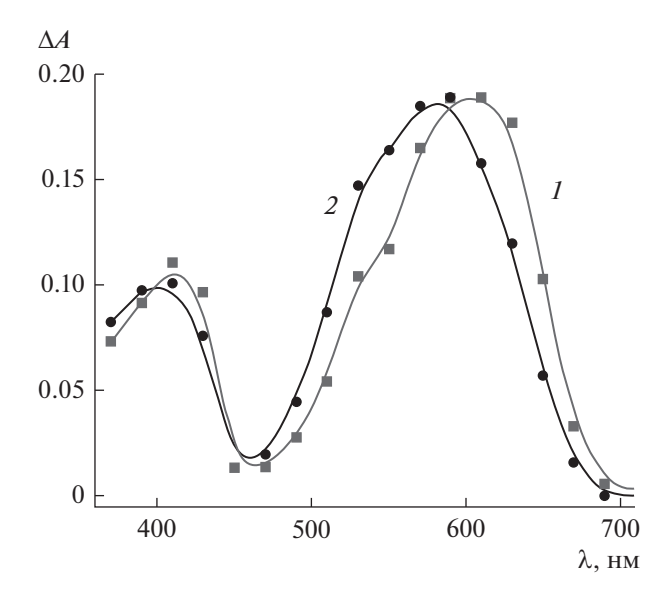


Рис. 2. Разностный спектр поглощения обескислороженного раствора СП, измеренный через 20 (*1*) и 260 (*2*) мкс после окончания лазерного импульса. Концентрация СП -1×10^{-4} моль/л.

окрашенной мероцианиновой формы спиропирана, протекающей через триплетное состояние μuc - μuc изомера ($^3X^*$). На вставке рис. Зб приведен спектр Т-Т поглощения μuc - μuc изомера.

Кинетические кривые приведенные на рис. 4 свидетельствуют о симбатном изменении фото-индуцированного поглощения при $\lambda = 630$ и 550 нм. Уменьшение поглощения при $\lambda = 630$ нм сопровождается увеличением поглощения при $\lambda = 550$ нм, что можно интерпретировать как переход *транс*изомера B_1 в *транс*-изомер B_2 [17, 24]. Процесс перехода описывается экспоненциальной зависимостью с константой скорости $k = 1.5 \times 10^4$ с⁻¹ и не зависит от концентрации кислорода воздуха в растворе.

Таким образом реакцию фотоокрашивания с образованием *транс*-изомеров СП можно представить в виде схемы:

$$A \xrightarrow{hv_1} {}^3A^* \xrightarrow{} {}^3X^* \xrightarrow{} B_1 \xrightarrow{kT} B_2(1)$$

Константа скорости перехода 3 А* \rightarrow 3 Х* равна $10^8 - 10^{10}$ с $^{-1}$ [10], в зависимости от структуры спиропирана и ее значение практически не зависит от концентрации кислорода воздуха в растворе.

При двухимпульсном лазерном возбуждении раствора наблюдаются изменения поглощения, приведенные на рис. 5.

Первый импульс ($\lambda_1 = 355$ нм) возбуждает исходную, закрытую форму (а). Второй импульс ($\lambda_2 = 530$ нм) возбуждает открытую, *транс*форму (б).

Изменение поглощения раствора СП, наблюдаемые при возбуждении *транс*-изомера (hv_2), можно интерпретировать как фотопревращение *транс*-изомера В₂ в *транс*-изомер В₁ с последующей обратной темновой реакцией, приводящей к образованию В2. В пользу этого свидетельствует, во-первых, тот факт, что кинетика этого превращения также описывается экспоненциальной зависимостью с той же величиной константы скорости k = $= 1.5 \times 10^4 \,\mathrm{c}^{-1}$, а, во-вторых, сходство разностных спектров изменения оптической плотности (рис. 6), измеренных по кинетическим кривым, аналогичным приведенным на рис. 5. Представленные на рис. 6 спектры поглощения являются разностью оптических плотностей, измеренных к моментам времени 20 и 270 мкс (рис. 6а), 500 и 750 мкс (рис. 6б) после окончания первого лазерного импульса. Таким образом, разностные спектры фотоиндуцированного поглощения, представленные на рис. 2, могут быть отнесены к трансизомерам B_1 (1) и B_2 (2) мероцианиновой формы СП.

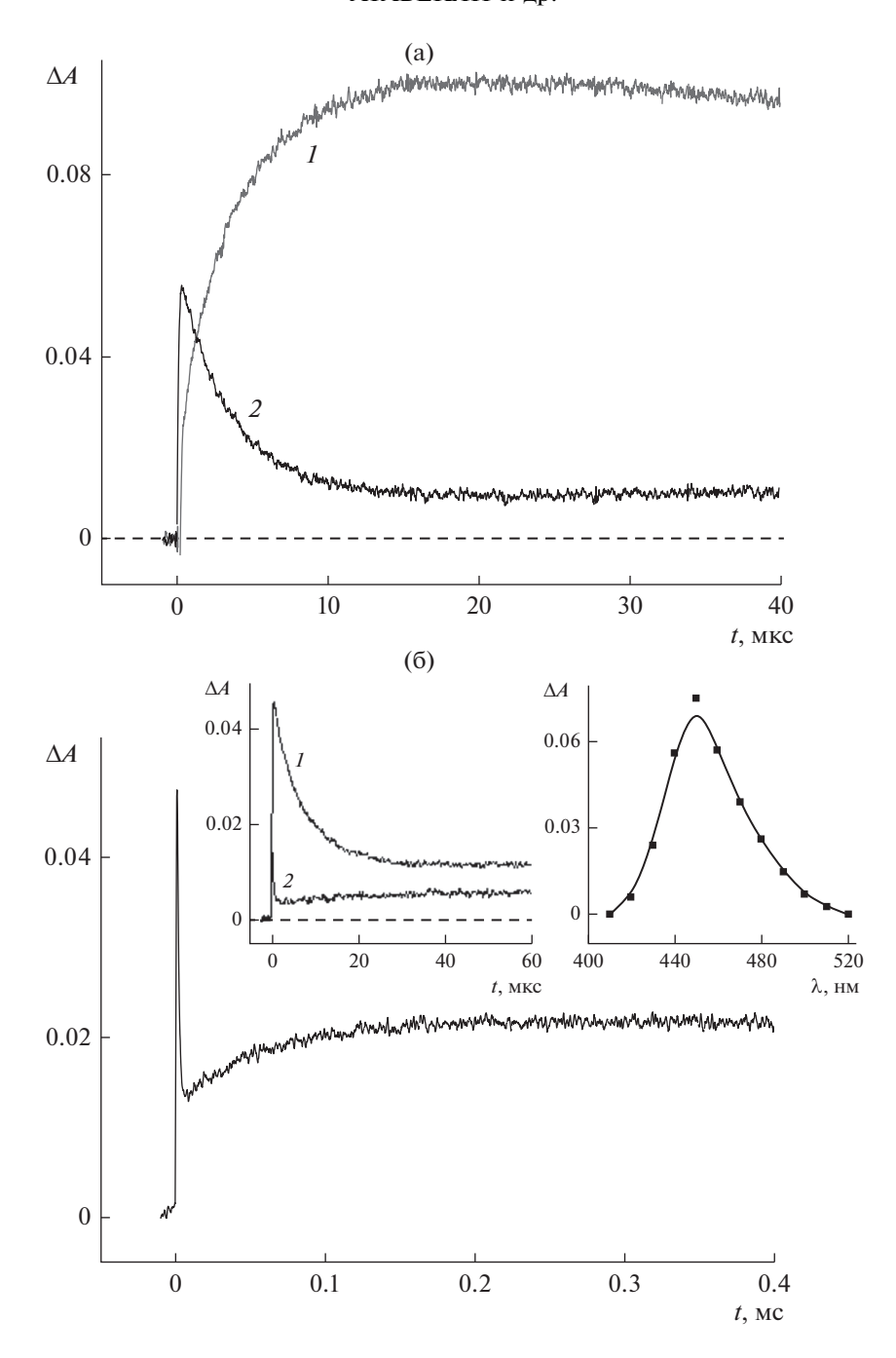


Рис. 3. Кинетические кривые фотоиндуцированного изменения поглощения обескислороженного раствора СП при: (a) $\lambda = 630$ (*I*) и 470 нм (*2*); (б) $\lambda = 470$ нм. На вставках — кинетические кривые фотоиндуцированного изменения поглощения обескислороженного (*I*) и воздушнонасыщенного (*2*) раствора и спектр триплет-триплетного поглощения СП.

ЗАКЛЮЧЕНИЕ

Использование метода двухимпульсного возбуждения позволило наблюдать за превращениями *транс*-изомеров открытой формы СП.

ИСТОЧНИК ФИНАНСИРОВАНИЯ

Работа выполнена при поддержке Министерства науки и высшего образования Российской Федерации в рамках выполнения работ по Государственному за-

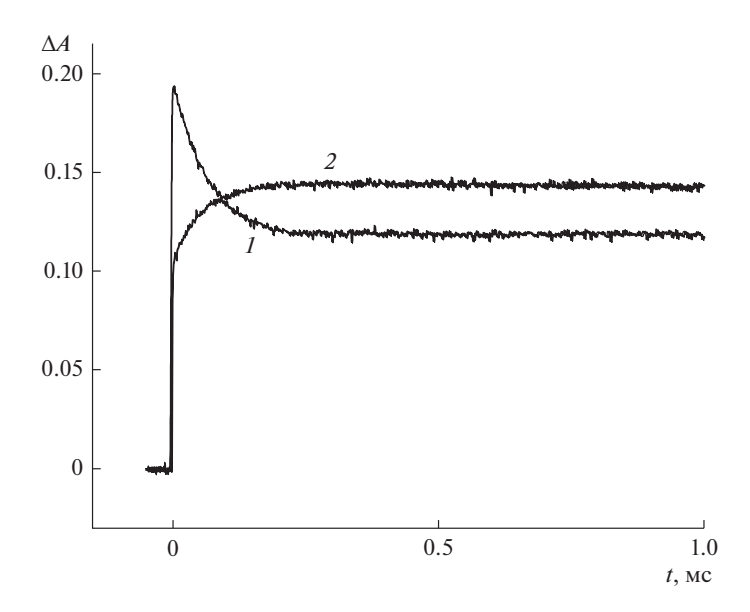


Рис. 4. Кинетические кривые изменения фотоиндуцированного поглощения обескислороженного раствора СП (а) при $\lambda = 550$ (*I*) и 630 нм (*2*).

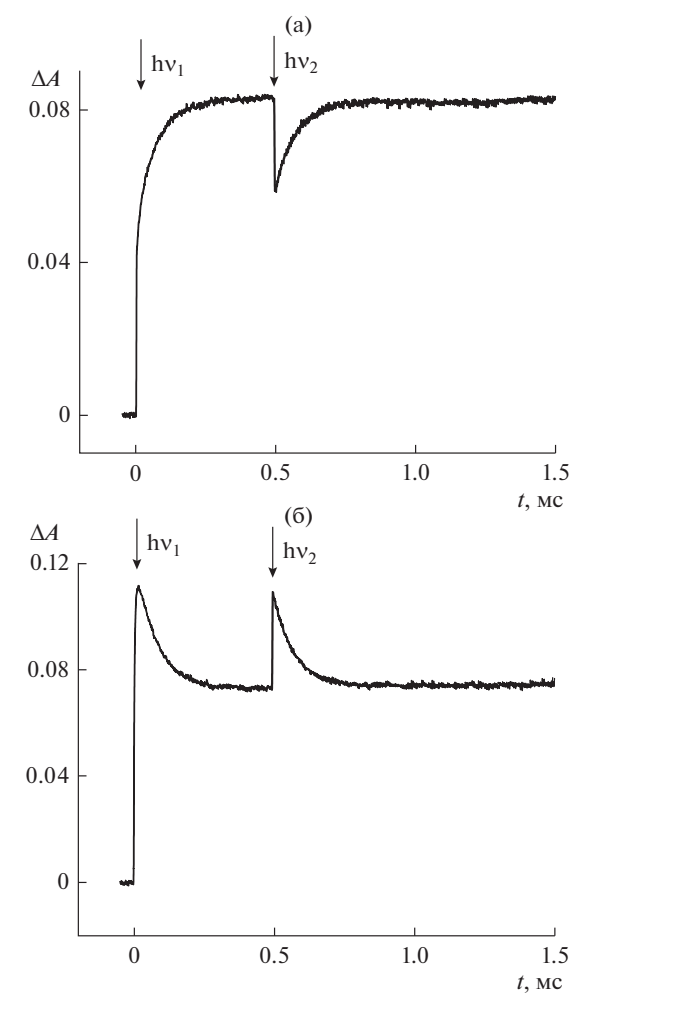


Рис. 5. Кинетические кривые фотоиндуцированного изменения поглощения обескислороженного раствора СП при двухимпульсном возбуждении. $\lambda = 530$ нм (а) и 630 нм (б).

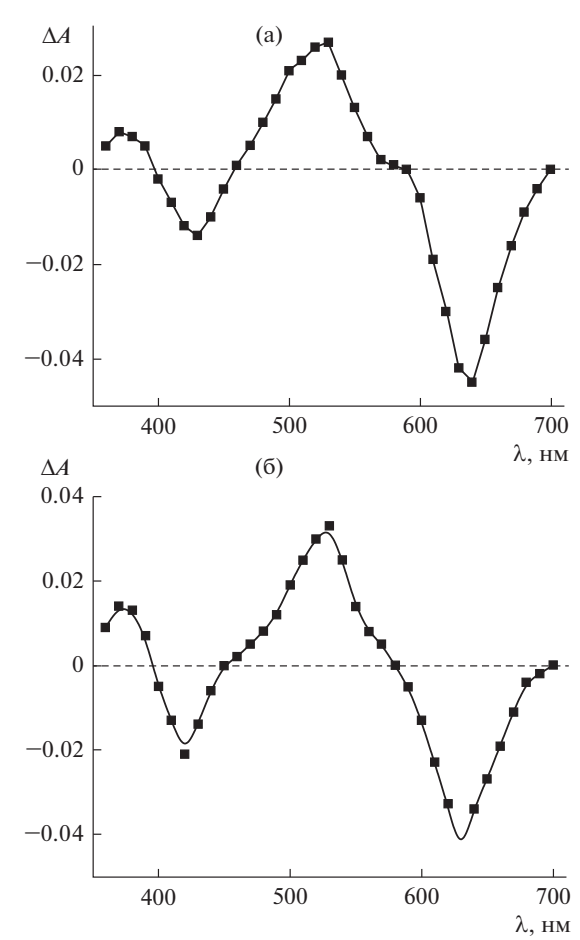


Рис. 6. Разность спектров изменения поглощения, измеренных к моментам времени 20 и 270 мкс (а) и 500 и 750 мкс (б) после окончания первого лазерного импульса.

данию ФНИЦ "Кристаллография и фотоника" РАН в части спектрально-кинетических исследований и Российского научного фонда (проект № 22-13-00064) в части спектральных исследований.

СПИСОК ЛИТЕРАТУРЫ

- 1. Photochromism. Ed. Brown G.H. N.Y.: Wiley-Intersciences, 1971. 853 p.
- 2. Барачевский В.А., Лашков Г.И., Цехомский В.А. // Фотохромизм и его применение. М.: Химия, 1977. 278 с
- 3. Organic Photochromic and Thermochromic Compounds. Vol. 1: Main Photochromic Families. Eds. Crano J.C. and Guglielmetti R.J. N.Y.: Plenum, 1999. 378 p.
- 4. Photochromism: Molecules and Systems. Ed. Durr H., Bouas-Laurent H. N.Y. and L.: Elsevier, 2003. 1218 p.
- Bercovic G., Krongauz V., Weiss V. // Chem. Rew. 2000.
 V. 100. № 5. P. 1741.
- 6. *Kawata S., Kawata Y.* // Chem. Rew. 2000. V. 100. № 5. P. 1777.
- Zhu M.-Q., Zhu L., Han J.J., Wu W., Hurst J.K., Li A.D.Q. // J. Am. Chem. Soc. 2006. V. 128. P. 4303.
- 8. Xie X., Mistlberger G., Bakker E. // J. Am. Chem. Soc. 2012. V. 134. P. 16929.
- Poscik A., Wandelt B. // Synthetic Metals. 2009. V. 159. P. 723.
- 10. Дюмаев А.С., Холманский К.М. // Успехи химии. 1987. T. 56. № 2. C. 241.
- 11. Gorner H. // Chemical Physics 1997. V. 222. P. 315.
- Chibisov A.K., Gorner H. // Chemical Physics. 1998.
 V. 237. P. 425.
- 13. *Gorner H., Atabekyan L.S., Chibisov A.K.* // Chem. Phys. Lett. 1996. V. 260. P. 59.

- 14. *Kalisky Y., Orlowski T.E., Williams D.J.* // J. Phys. Chem. 1983. V. 87. № 26. P. 5333.
- 15. Abe Y., Nakao R., Horii T., Okada S., Irie M. // J. Phtochem. Photobiol. A: Chem. 1996. V. 95. P. 209.
- Ernsting N.P., Arthen-Engeland T. // J. Phys. Chem. 1991. V. 95. P. 5502.
- 17. Futami Y., Chin M.L.S., Kudoh S., Takayanagi M., Nakat M. // Chem. Phys. Lett. 2003. V. 370. P. 460.
- Kubinyi M., Varga O., Baranyai P., Kallay M., Mizsei R., Tarkanyi G., Vidoczy T. // J. Molec. Struct. 2011. V. 1000. P. 77.
- 19. Лашков Г.И., Севостьянова М.В., Шабля А.В., Шахвердов Т.А. // Молекулярная фотоника / Под ред. Красновского А.А. и др. Л.: Наука, 1970. С. 299.
- 20. *Атабекян Л.С., Чибисов А.К.* // Журн. прикл. спектроскопии. 1987. Т. 46. № 4. С. 651.
- Takahashi H., Murakawa H., Sakaino Y., Ohzeki T., Abe J., Yamada O. // J. Photochem. Photobiol. A: Chem. 1988. V. 45. P. 233.
- 22. *Атабекян Л.С., Чибисов А.К., Гуглиельметти Р., Самат А.* // Химия высоких энергий. 1996. Т. 30. № 2. С. 133
- Атабекян Л.С. // Химия высоких энергий. 2002. Т. 36. № 6. С. 437.
- Wohl C.J., Kuciauskas D. // J. Phys. Chem. B. 2005.
 V. 109. P. 22186.
- 25. *Minkin V.* // Chemical Reviews. 2004. V. 104. № 5. P. 2751.
- Scaiano J.C., Tanner M., Weir D. // J. Amer. Chem. Soc. 1985. V. 107. P. 4396.
- 27. Advances in photochemistry. V. 29. Wiley-Interscience. 2007. P. 111.
- 28. Yamaji M. // Photochem. Photobiol. Sci. 2008. V. 7. P. 711